

図-3 バーの移動方向の領域区分

$$(H_b)_{\max}/gT_{\max}^2 = kD/(H_b)_{\max} \quad \dots \dots \dots (2)$$

ここに、 $(H_b)_{\max}$  はある一つの「期間」における日平均碎波波高の最大値、 $T_{\max}$  は  $(H_b)_{\max}$  に対応する日平均周期、 $k$  は定数である。なお、碎波波高は経験式<sup>5), 6)</sup>により計算した。式(2)の両辺のパラメーターを使用し、バーの移動方向の区分を試みた(図-3)。この図には、静岡県下田市多々戸海岸で得られたデータ<sup>7)</sup>もプロットしてある。バーの移動方向は次式によってほぼ区分されることがわかる。

$$(H_b)_{\max}/gT_{\max}^2 = 20D/(H_b)_{\max} \quad \dots \dots \dots (3)$$

また、図中の破線は推定で引いた線であり、これより右下の領域は、波のエネルギーが小さすぎるために地形変化が生じないことを示す。この破線は次式で示される。

$$(H_b)_{\max}/gT_{\max}^2 = 5D/(H_b)_{\max} \quad \dots \dots \dots (4)$$

バーが岸方向に移動するのは、図中の実線と破線の間の領域であり、その条件(必要条件)は次式のようになる。

$$5D/(H_b)_{\max} \leq (H_b)_{\max}/gT_{\max}^2 \leq 20D/(H_b)_{\max} \quad \dots \dots \dots (5)$$

世界各地の海岸において、バーの岸方向への移動速度が調べられており<sup>8)</sup>、その速度は 0.83~29.3 m/day の広範囲に及ぶ。Hayes<sup>9)</sup>は、バーの岸向き移動速度は底質の粒径、海底勾配、波浪状況、潮位差によると述べているが、まだ、バーの岸向き移動速度を示す具体的なパラメーターは提示されていない。

バーが岸向きに移動する模様を図-4 に模式的に示した。波はバーの沖側斜面上で碎け、その後段波状の水塊となってバーの上を通過する。この段波状の水塊が、バーを構成している砂を、主に掃流状態で岸方向に運搬する。この砂は最終的にバーの岸側末端部にある slip face に堆積し、slip face の前進をもたらす。すなわちバーが

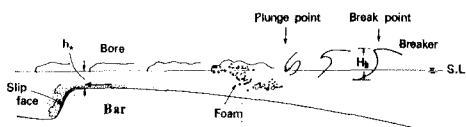


図-4 バー上の波の変形とバー頂部での砂移動の模式図



図-5 定義図

岸方向に移動する。

バー頂部における掃流砂量を求めるために、シールズ数  $\Psi$  を用いることにする。

$$\Psi = \tau_0 / (s-1) \rho g D \quad \dots \dots \dots (6)$$

ここに、 $\tau_0$  は海底面におけるせん断力、 $s = \rho_s / \rho$  であり、 $\rho_s$  は砂粒の密度、 $\rho$  は海水の密度である。また、 $\tau_0$  は

$$\tau_0 = \frac{1}{2} \rho f_w u_0^2 \quad \dots \dots \dots (7)$$

で与えられる。ここに、 $u_0$  は海底面付近の最大流速(図-5)、 $f_w$  は底面摩擦係数である。ここで、バー頂部における波高  $H_*$  が碎波波高  $H_b$  に比例すると仮定する。

$$H_* = BH_b \quad \dots \dots \dots (8)$$

ここに、 $B$  は定数( $<1$ )である。バー頂部においては、前述したように波は段波状の水塊となっており、その波高  $H_*$  は水深に強く支配されると考えられる。そこで、次の関係式を適用する。

$$H_*/h_* = 0.78 \quad \dots \dots \dots (9)$$

ここに、 $h_*$  はバー頂部の水深(図-5)である。微小振幅波理論の浅海近似が成立するすれば、バー頂部での底面最大流速  $u_0$  は次式によって示される。

$$u_0 = \frac{H_*}{2} \sqrt{\frac{g}{h_*}} \quad \dots \dots \dots (10)$$

式(6)~(10)を用いると、バー頂部におけるシールズ数  $\Psi$  は次のように書ける。

$$\Psi = 0.098 B f_w H_b / (s-1) D \quad \dots \dots \dots (11)$$

一方、バー頂部から slip face まで運搬してきた底質の一部は、トラフ内を流れる沿岸流によって運び去られ、残りが slip face に堆積してバーを岸方向に移動させる。単位時間、単位幅あたりにバー頂部から岸方向に運ばれる底質の量(体積)を  $q_0$ 、slip face における堆積量を  $q_*$  とし(図-6)、 $q_*$  は  $q_0$  に比例すると仮定すると、

$$q_* = A q_0 \quad \dots \dots \dots (12)$$

ここに、 $A$  は定数( $<1$ )である。この式は底質移動が 2 次元性の強い場合に適用されるべきである。この現象を短時間について考えれば、バーの岸方向への移動をも

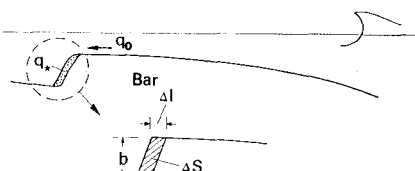


図-6 定義図



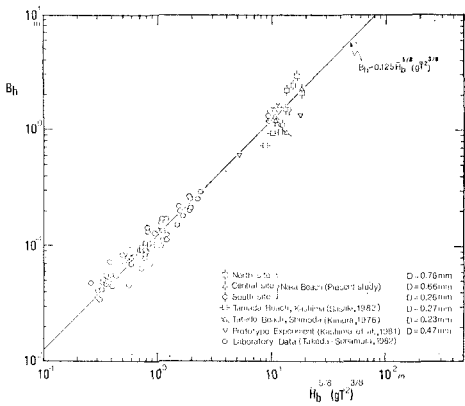


図-10 バームの高さ

(1) の  $H_b, T$  のかわりに、それぞれ  $\bar{H}_b$  と  $\bar{T}$  を用いて、図-8 に示した3通りの地形変化的領域区分を調べた(図-9)。この図から、welded bar がバームとなって陸上に乗り上げるための条件は次式で与えられることがわかる。

$$3.5D/\bar{H}_b \leq \bar{H}_b/g\bar{T}^2 \leq 10D/\bar{H}_b \quad \dots \dots \dots (23)$$

バームは遡上波によって形成されるものであり、その高さ  $B_h$  は遡上限界高さ  $R$  に比例すると考える。すなわち、

$$B_h \sim R \quad \dots \dots \dots (24)$$

Hunt<sup>13)</sup>によれば、

$$R/H_0 = a(H_0/L_0)^{-0.5} \quad \dots \dots \dots (25)$$

ここに、 $H_0$  は沖波波高、 $L_0$  は沖波波長、 $a$  は定数である。碎波波高と沖波の諸元との関係を与える次式<sup>14)</sup>

$$H_0/H_0 = 0.563(H_0/L_0)^{-0.2} \quad \dots \dots \dots (26)$$

と  $L_0 = gT^2/2\pi$  を用いて式(25)を変形し、さらに式(24)に代入すると

$$B_h \sim H_b^{5/8}(gT^2)^{3/8} \quad \dots \dots \dots (27)$$

が得られる。式(27)中の  $H_b$  と  $T$  のかわりに、それぞれ  $\bar{H}_b$  と  $\bar{T}$  を用いて、那珂海岸、静岡県下田市多々戸海岸<sup>15)</sup>、茨城県旭村玉田海岸<sup>16)</sup>で得られたデータをプロットした(図-10)。実験室では  $\bar{H}_b = H_b$ 、 $\bar{T} = T$  であるから、図-10には実験室のデータ<sup>17)</sup>もプロットしている。また、この図には、大型造波水路を用いたプロトタイプ実験<sup>18)</sup>の結果も示した。なお、現地データとプロトタイプ実験のデータは式(23)を満足するもの、実験室のデータは実験室における安定バームの形成条件<sup>19)</sup>を満たすものを使用した。この図から、野外、プロトタイプ実験および室内実験のいかんにかかわらず、バームの高さは底質粒径と無関係に次式で示されることがわかる。

$$B_h = 0.125\bar{H}_b^{5/8}(g\bar{T}^2)^{3/8} \quad \dots \dots \dots (28)$$

## 5. ステップの規模

実験室での観察により、ステップは波の backwash の

際に beach face の沖側末端部に発生する剥離渦によって形成されることがわかった<sup>20)</sup>。そこで、ステップの高さ  $Z$  (図-8) は渦の大きさに左右されると考えられる。渦の大きさは backwash の流速  $v_b$  と波の周期  $T$  の積で表わせると仮定し、さらに  $v_b$  は遡上波の速度  $v_s$  と比例関係にあると仮定する。 $v_s$  は  $\sqrt{gH_b}$  に比例すると考えると<sup>21)</sup>、ステップの高さは  $T\sqrt{gH_b}$  というパラメータで表わすことになる。実験室のステップ高さ  $Z$  と  $T\sqrt{gH_b}$  の関係を調べたところ、

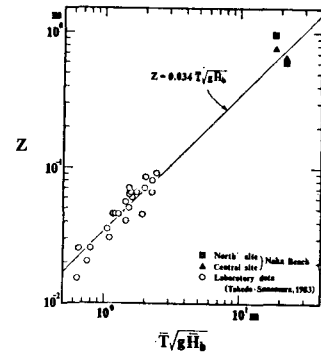
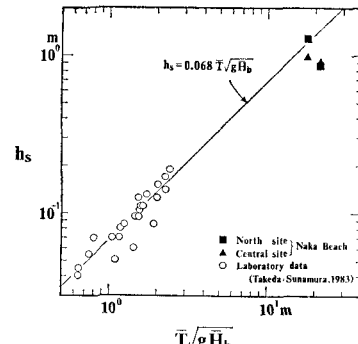
$$Z = 0.034T\sqrt{gH_b} \quad \dots \dots \dots (29)$$

の関係が得られ、ステップの深さ  $h_s$  (図-8) も

$$h_s = 0.068T\sqrt{gH_b} \quad \dots \dots \dots (30)$$

となり、 $h_s$  は  $Z$  の2倍程度の値を示すことがわかった<sup>22)</sup>。

現地における  $Z$  と  $h_s$  を検討するため、 $T\sqrt{gH_b}$  の  $H_b$  と  $T$  のかわりに、それぞれ  $\bar{H}_b$  と  $\bar{T}$  を用い、那珂海岸で得られたデータをプロットした( $Z$  に関しては図-11、 $h_s$  に関しては図-12)。なお、データは第1次碎波が汀線近傍で生じたケースのみを選んだ。これらの図には実験室で得られたデータ<sup>23)</sup>もプロットしてある。現地のデータは少ないが、実験室で得られた式(29)、あるいは式(30)で示される直線の延長上付近にプロットされ

図-11 ステップの高さ  $Z$  と  $\bar{T}\sqrt{gH_b}$  の関係図-12 ステップの深さ  $h_s$  と  $\bar{T}\sqrt{gH_b}$  の関係

る。すなわち、現地・実験室のいかんにかかわらず、ステップ高さ  $Z$  とステップ深さ  $h_s$  は、それぞれ次式で示されることがわかる。

$$Z=0.034\bar{T}\sqrt{gH_b} \quad \dots \dots \dots \dots (31)$$

$$h_s=0.068\bar{T}\sqrt{gH_b} \quad \dots \dots \dots \dots (32)$$

## 6. おわりに

バーの岸方向への移動条件は式(5), 移動速度は式(22), バームの形成条件は式(23), バームの高さは式(28), ステップの高さは式(31), ステップの深さは式(32)で与えられる。

**謝 辞:** 現地調査では、辻本英和君をはじめとする多くの筑波大学学生諸君にお手伝いをお願いした。また、波浪資料は茨城県三浜港湾事務所のものを使わせていただいた。

最後に、本研究は文部省科学研究費（自然災害特別研究、研究代表者北海道大学尾崎 晃教授）による研究の一部であることを付記する。

## 参 考 文 献

- 1) Short, A. D.: Three dimensional beach-stage model, Jour. Geology, Vol. 87, pp. 553~571, 1979, 参照.
- 2) Sunamura, T. and I. Takeda: Landward migration of inner bars, Sedimentary Geology (in press).
- 3) 武田一郎・砂村継夫: ビーチ・カスプの発生と波長, 第29回海岸工学講演会論文集, pp. 319~322, 1982.
- 4) 武田一郎・砂村継夫: バームの形成条件と高さ, 地形, Vol. 3, pp. 145~157, 1982.
- 5) Sunamura, T. and K. Horikawa: Two-dimensional beach transformation due to waves, Proc. 14th Conf. Coastal Eng., pp. 920~938, 1974.
- 6) Sunamura, T.: Determination of breaker height and depth in the field, Ann. Rep., Inst. Geosci., Univ. Tsukuba, No. 8, pp. 53~54, 1982.
- 7) 木村龍二: 海浜縦断形の変化について—静岡県下田市多々戸海岸の場合—, 東京教育大学卒業論文, 53p., 1976.
- 8) 前掲 2).
- 9) Hayes, M. O.: Forms of sediment accumulation in the beach zone, in R. E. Meyer ed., Waves on Beaches, Academic Press, New York, pp. 297~356, 1972.
- 10) Madsen, O. S. and W. D. Grant: Quantitative description of sediment transport by waves, Proc. 15th Conf. Coastal Eng., pp. 1093~1112, 1976.
- 11) 前掲 4).
- 12) 前掲 4).
- 13) Hunt, I. A., Jr.: Design of seawalls and breakwaters, Jour. Waterways & Harbours Div., Proc. Am. Soc. Civil Eng., WW3, pp. 123~152, 1959.
- 14) Komar, P. D. and M. K. Gaughan: Airy wave theory and breaker height prediction, Proc. 13th Conf. Coastal Eng., pp. 405~418, 1972.
- 15) 前掲 7).
- 16) Sasaki, T.: Three-dimensional topographic change on the foreshore zone of sandy beaches, Unpub. Doctoral Thesis, Inst. Geosci., Univ. Tsukuba, p. 172, 1982.
- 17) 前掲 4).
- 18) 鹿島達一・清水隆夫・丸山康樹・齊藤昭三: 大型造波水路による岸冲漂砂の実験的研究, 第28回海岸工学講演会論文集, pp. 197~201, 1981.
- 19) 前掲 4).
- 20) Takeda, I. and T. Sunamura: A wave-flume experiment of beach steps, Ann. Rep., Inst. Geosci., Univ. Tsukuba, No. 9 (in press), 1983.
- 21) Waddell, E.: Dynamics of swash and implication to beach response, Coastal Studies Inst. Louisiana State Univ. Tech. Rep. No. 139, p. 49, 1973.
- 22) 前掲 20).
- 23) 前掲 20).